

ПАТОЛОГИЧЕСКИЕ ФОРМЫ ВЕРХНЕДЕВОНСКИХ КОНОДОНТОВ

Бикбаев А.З., Снигирева М.П.

Патологические формы конодонтов – формы, имеющие различные отклонения от нормального строения, обусловленные болезнями – известны давно [Hass, 1941; Lindstrom, 1964; Muller, Nogami, 1971; Ziegler, Lindstrom, 1975]. Детальные гистологические исследования, проведенные этими авторами [особенно К.Мюллер и И.Ногами, 1971], выявили феноменальную способность животных-конодонтоносителей восстанавливать нарушенные и даже частично утраченные вследствие механических повреждений те или иные части твердых тканей различных конодонтовых элементов. Главным доказательством феномена регенерации конодонтов являются различные микроструктурные несогласия в распределении формообразующих ламелл фосфатного состава, фиксирующих последовательность роста твердых тканей. В настоящее время выделяется пять основных типов регенерационных явлений конодонтовых тканей [Weddige, 1990] (рис.1): цементация, реювенация (омоложение), переглазировка (остеклование), компенсация и рост протуберанцев (выростов различной формы, образованных от вторичных центров роста). К. Веддиге первым обратил внимание на важность изучения патологий конодонтов, справедливо заметив: "Филогенетическая таксономия пренебрегает патологическими формами, чтобы сконцентриро-

вать внимание на обильном нормальном состоянии и понять значение популяций.", указав при этом, что патологии, "...эти свежие следы функций конодонтовой жизни могут пролить свет на все те проблемы, которые не проясняются полностью изучением нормальных образцов [Weddige, 1990]. Анализ около ста экземпляров патологических форм конодонтов из различных разрезов нижнего – среднего девона Германии, Чехии и, в незначительной мере, Новой Зеландии позволил К. Веддиге выделить и систематизировать конодонтовые патологии и предложить функциональную модель органа питания конодонтового животного на примере рода *Polygnathus*, в которой указана пространственная локализация возможных конодонтовых патологий в структуре конодонтового аппарата. Номенклатура патологий, предложенная К. Веддиге, включала 13 латинизированных названий, отражающих специфику конкретных патологий: Abrasio (истирание), Accessio (дополнение), Decompositio (разложение, распад), Deflectio (изгиб), Depressio (вмятие), Diminutio (уменьшение), Duplicatio (удвоение), Fractio (дробление), Fusio (слипание), Impressio (сдавливание), Jugatio (образование дополнительных орнаментаций около главного зубца на внутренней стороне Ra и Pb-элементов), Mutilatio (искажение) и Occlusio (смыкание – несоответствие

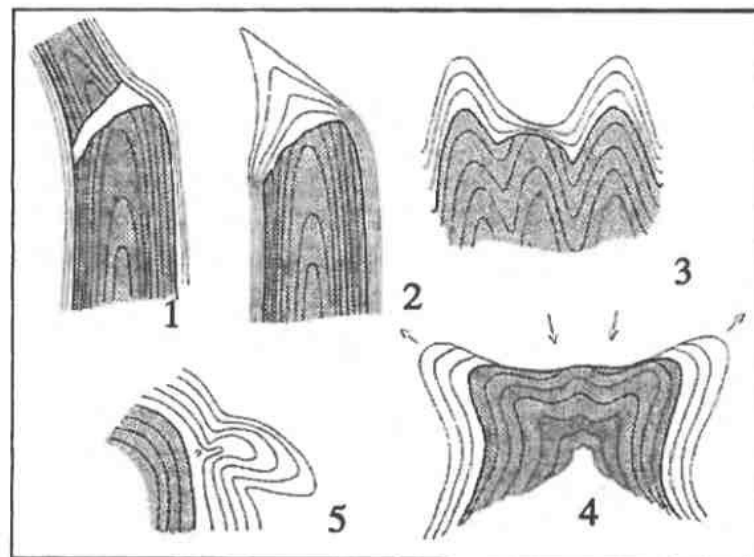


Рис.1. Типы регенерационных явлений у конодонтов (Непрерывными линиями показана ламеллярная структура. Более ранние по образованию структуры показаны штриховкой) (по Weddige, 1990).

1 – Цементация; 2 – Реювенация; 3 – Переглазировка; 4 – Компенсация; 5 – Рост протуберанцев.

зон смыкания у парных Ра-элементов). Эти патологии, за исключением Abrasio, были выделены в 3 генетические группы: аксидентные (травматические) – Deflectio, Fractio, Diminutio, Duplicatio, Impressio;rudimentарные (остаточные) – Accessio, Jugatio, и дегенеративные - Fusio, Depressio, Occlusio, Mutilatio, Decompositio.

Данная статья основана на фактическом материале, полученном в процессе изучения разрезов верхнедевонских отложений по Международному проекту РФФИ-НИО “Палеонтология, седиментология и стратиграфическая корреляция девонских отложений Урала” в 1998-2000гг. Из-за обилия фактического материала, который пока еще находится в стадии обработки и требует ультратонких гистологических исследований с применением как световой, так и электронной микроскопии, статья носит предварительный характер. Однако, уже имеющиеся результаты, полученные с помощью только световой микроскопии, позволяют сделать определенные выводы и наметить перспективы исследований в этом направлении.

Коллекции конодонтов, содержащие патологические экземпляры, были получены при обработке проб в основном из трех разрезов верхнедевонских отложений западного склона Среднего Урала: “Кривой рог” (р.Вильва близ города Гремячинска) в интервале конодонтовых зон *Upper falsovalis – lingiformis*; “Баронская” и “Сулсем” (бассейн р.Чусовая) в интервале конодонтовых зон *Upper falsovalis – crepida*. Все три разреза различаются по своей лито-фациальной характеристике, мощности отложений и степени нарушенности последовательности, по содержанию конодонтов и степени их сохранности. Разрезы “Баронская” и “Сулсем”, представленные, в основном, отложениями, соответственно, депрессионного и переходного типов, характеризуются карбонатными турбидитами и повышенными мощностями, осложнены тектоническими и подводно-оползневыми нарушениями, характеризуются нестабильными содержаниями конодонтов (от нескольких десятков до двух тысяч экземпляров на килограмм породы) с различной степенью сохранности, черного цвета (индекс окраски ИОК = 5). Разрез “Кривой рог”, в отличие от разрезов “Баронская” и “Сулсем”, представлен менее глубоководными, преимущественно карбонатными отложениями, до уровня конодонтовой подзоны нижняя *rhenana* - с богатой бен-

тосной и пелагической фауной, выше – доломитизированными известняками с маломощной пачкой относительно глубоководных доломитовых ламинитов в нижней части подзоны верхняя *rhenana*. Разрез в изученном интервале практически ненарушен, общая мощность интервала не превышает двадцати метров. До уровня подзоны нижняя *rhenana* содержания конодонтов в пробах колеблются от нескольких сотен до двух тысяч экземпляров на килограмм, конодонты имеют хорошую сохранность, часто прозрачные и полупрозрачные, преимущественно медово-желтого цвета (ИОК=1-1,5). Вверх по разрезу содержания конодонтов сокращаются, а их сохранность ухудшается за счет тонких кремнистых пленок и сетчатых выделений, покрывающих поверхность конодонтов. В биофацальном отношении разрез характеризуется последовательным изменением вверх по разрезу от анцироделлид-мезотаксисовой до полигнатид-пальматолеписовой биофаций с подчиненным значением икриодид и анцирогнатид. Высокие содержания конодонтов и их хорошая сохранность предопределили высокую детальность опробования. Так, в нижней части изученного интервала общей мощностью около 8м нами было отобрано более 50 проб. Это позволило выявить в нижней части подзоны нижняя *rhenana*, возможно уникальный по своему значению, горизонт с повышенным содержанием патологических форм конодонтов, о чем будет сказано ниже.

Патологические формы конодонтов разреза “Кривой рог” распространены по всему интервалу более-менее равномерно. В пересчете на тысячу конодонтов содержание патологических форм в пробах на этом этапе изученности колеблется от 4 до 40 экземпляров, что, в целом, несмотря на различие фациальных характеристик отложений, согласуется с данными по мелководным франским отложениям Главного Девонского Поля Русской платформы, где содержания конодонтовых элементов со следами регенерации изменяются от 0,1% до 7%, составляя в среднем 2% [Журавлев, 2002]. Патологиями характеризуются различные виды как рамиформных, так и пектинiformных конодонтов примерно в равных соотношениях, с небольшим доминированием тех или других в конкретных пробах. Основные стратиграфические уровни с несколько повышенным содержанием патологических форм в разрезе “Кривой рог” соответствуют верхней части подзоны

Upper falcivalvis нижней части зоны *transitans*, нижней подзоны *rhenana* и нижней части верхней подзоны *rhenana*. В изученном интервале установлены патологии: Abrasio, Accessio, Decompositio, Deflectio, Diminutio, Duplicatio, Fractio, Fusio и два новых вида патологий, которые мы именуем, – Deformatio и Transpositio.

Патологические формы конодонтов разрезов "Баронская" и "Сулем" представлены значительно меньшим количеством экземпляров, чем разрез "Кривой рог". Даже в выборках в 2500 конодонтов количество патологических форм не превышает 10 экземпляров. Это связано, вероятно, с недостаточной детальностью опробования и худшей сохранностью конодонтов в целом. Тем не менее стратиграфические уровни патологий, выявленные в этих разрезах, приблизительно совпадают с таковыми в разрезе "Кривой рог" и относятся к подзонам нижняя и верхняя *rhenana*, что дает надежду при детализации исследований синхронизировать все три разреза по критерию патологической изменчивости. Список патологий из этих разрезов включает патологии Accessio, Deflectio, Diminutio, Duplicatio, Deformatio. Кроме того в разрезе "Баронская" из нижнефаменского интервала получены два новых типа патологий – Perforatio и Teratio. Таким образом общий список патологий из трех разрезов включает патологии: Abrasio, Accessio, Decompositio, Deflectio, Diminutio, Duplicatio, Fractio, Fusio и четыре новых вида патологий – Deformatio, Transpositio, Perforatio и Teratio. Ниже приводится краткое описание указанных патологий.

Патология Abrasio. Выделена К. Веддиге для *Pa*-элементов *Polygnathus linguiformis* Hinde из отложений зоны *partitus* формации Лаух (нижний эйфель). Диагностический признак: механическое сглаживание карины и боковых ребер в медианной части платформы. В нашей коллекции этот диагностический признак зафиксирован у наиболее поздних представителей вида *Palmatolepis semichatovae* Ovnatanova 1976. Данный вид, характеризующийся субтреугольной широко-округлой, скульптурированной мелкими бугорками платформой, резко выраженной боковой лопастью, сигмоидальным гребнем и незначительным превышением внешней стороны платформы над внутренней, обнаруживает в районе невыраженного главного зубца и на внешней стороне платформы у многих, преимущественно зрелых, экземпляров отчетливую сглаженную область с

реликтами скульптуры в ее краевых частях (табл., фиг. 1-4) Материал: 90 экземпляров. **Примечание:** Материал получен из двух смежных слоев из отложений подзоны нижняя *rhenana*. Верхний слой при выборке 4500 конодонтов содержит 700 экземпляров вида *Palmatolepis semichatovae*, из которых 83 образца характеризуются патологией Abrasio при общем количестве патологических форм 176 экземпляров. При общем содержании патологических форм около 4%, содержание патологии Abrasio для вида *Palmatolepis semichatovae* составляет около 12%. В вышележащих слоях этот вид отсутствует. По данным [Ziegler, Sandberg, 1990] филогенетически вид *Palmatolepis semichatovae* является тупиковой ветвью, произошедшей от вида *Palmatolepis rhenana brevis* Ziegler et Sandberg 1990 и исчезающей в середине подзоны нижняя *rhenana*. Возможно, вышеуказанный факт резкого увеличения патологических форм одного вида перед его исчезновением документирует событие вымирания.

Патология Accessio. Характеризуется появлением дополнительных скульптурных элементов (добавочных знаков - по К. Веддиге) на внешних флангах *Pa* и *Pb*-элементов, обычно в области сочленения свободного листа и платформы. В основе этой патологии лежит такое явление как вырост протуберанцев (см. выше, рис. 1-5). В нашей коллекции редкая патология. Материал: 7 экземпляров *Pa* и *Pb*-элементов родов *Mesotaxis*, *Palmatolepis*, *Polygnathus*.

Патология Decompositio. Характеризуется распадом и превращением поверхностных скульптурных элементов платформы в иглоподобные, или тонкие разветвленные, напоминающие бауму, структуры у *Pa* и *Pb*-элементов *Skeletognathus norissi* [Uyeno, 1967] из пограничных средне-верхнедевонских отложений, у фаменских *Pseudopolygnathus accicularis*, *Mehlina strigosus* [Branson, Mehl, 1934] и некоторых рамиформных элементов родов *Ancyrognathus* или *Scaphignathus*. В нашей коллекции эта патология представлена двумя ювенильными *Pa* и *Pb*-элементами *Polygnathus* sp. с уровня близкого к основанию зоны *transitans*, характеризующимися иглоподобными структурами утолщенного свободного листа близ его сочленения с платформой у *Pa*-элемента (табл., фиг. 6) и аналогичными структурами платформенной части над базальной полостью у *Pb*-элемента.

Патология Deflectio. Характеризуется

сигмоидальным отклонением стержневидных S-элементов, или *Pa*-элементов, или изгибом, иногда почти по радиусу, отдельных зубцов. На таблице, фиг.9 показан сигмоидально изогнутый S-элемент с дополнительной патологией *Duplicatio* на конце. Образец происходит из отложений подзоны нижняя *rhenana* разреза "Кривой рог". Материал: 12 экземпляров различных форм проявления патологии.

Патология Diminutio. Характеризуется уменьшением размера зубцов, регенерируемых после обламывания у различных элементов. Наблюдаются случаи многократной регенерации обломанных зубцов, при которой каждый восстановленный зубец имеет меньший диаметр, чем предыдущий (табл., фиг. 10). Образец фиг.10 происходит из отложений подзоны нижняя *rhenana* разреза "Кривой рог". В редких случаях наблюдается регенерация двух зубцов меньшего диаметра на месте одного сломанного, что сближает такие случаи патологии *Diminutio* с патологией *Duplicatio*. Материал: 77 экземпляров.

Патология Duplicatio. Характеризуется удвоением морфологических признаков при регенерации механически расщепленных на ранних стадиях онтогенеза чаще всего концевых частей различных конодонтовых элементов – *Pa* -элементов полигнатид (табл., фиг. 7), пальматолепид (табл., фиг. 8), реже рамиформных S-элементов (табл., фиг. 9) и *Pb*-элементов. Образец фиг. 7 происходит из отложений основания зоны *transitans* разреза "Кривой рог". Образец фиг.8 происходит из отложений подзоны нижняя *rhenana* разреза "Сулем". Образец фиг. 8 происходит из отложений подзоны нижняя *rhenana* разреза "Кривой рог". Материал: 14 экземпляров.

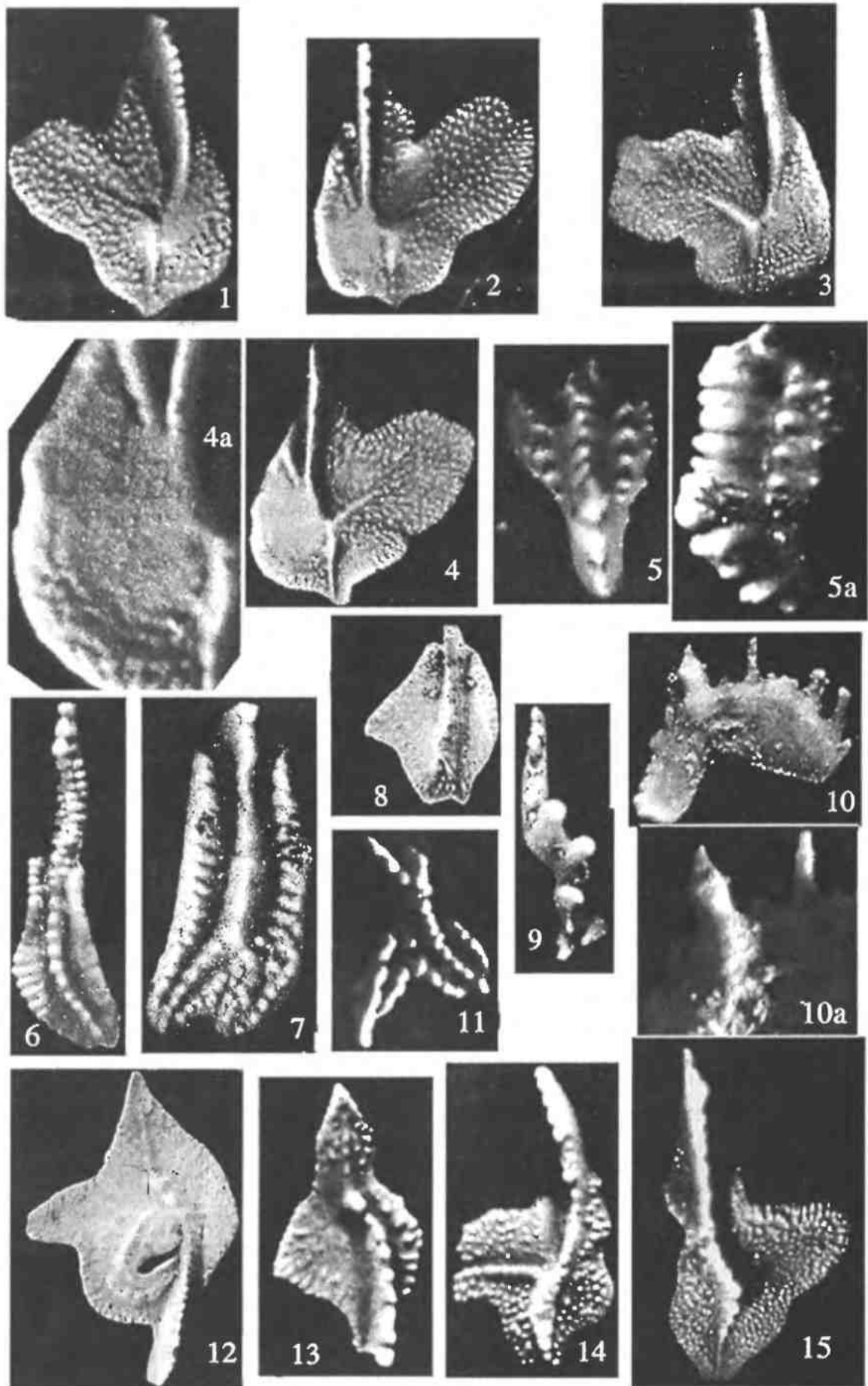
Патология Fractio. Характеризуется прижизненным дроблением, вплоть до образования коленообразных изломов, различных частей различных рамиформных элементов, реже *Pb*-элементов с последующей цементацией трещин и изломов. Особенно четко такие патологии диагностируются на прозрачных и полупрозрачных образцах. Иногда у некоторых экземпляров различных *Pa* -элементов хорошей сохранности наблюдаются тонкие внутренние трещины, не проявленные на стекловатой поверхности конодонтов, что, возможно, служит доказательством их прижизненного образования. Материал: 19 экземпляров.

Патология Fusio. Характеризуется одно-

временным остеклованием нескольких (обычно двух – трех) рядом стоящих обломанных зубцов у *Pb*-элементов. При этом вновь образованный элемент выглядит как один зубец. Также, как и при патологии *Fractio*, такие экземпляры хорошо диагностируются в прозрачных и полуопаких образцах. Материал: 7 экземпляров.

Патология Deformatio. Данная патология выделяется впервые. *Derivatio nominis:* от латинского *deformatio* – искажение. Диагноз: под этим названием выделяются патологические формы конодонтовых *Pa* – элементов рода *Palmatolepis*, характеризующиеся различными прижизненными искажениями общего облика платформы независимо от их этиологии. Не исключено, что данной патологией могут быть охарактеризованы конодонты других родов, обладающие уплощенной листовидной платформой (роды *Klapperina* и *Mesotaxis*). Примеры этой патологии приведены в таблице - фиг. 3, фиг. 13, фиг. 14, фиг. 15. Из них, образцы указанные на фиг. 3 и фиг. 15 происходят из отложений подзоны нижняя *rhenana*, а образец фиг. 14 – из отложений подзоны верхняя *rhenana* разреза "Кривой рог". Образец фиг. 13 происходит из нижнефаменских отложений подзоны нижняя *triangularis* разреза "Баронская". Материал: 14 экземпляров. Замечание: Предлагаемое название синонимично названию *Mutilatio* (искажение), установленному К. Ведиге для специфичной и, по-видимому, редкой патологии *Pa* – элементов *Polygnathus linguiformis alveolus*, характеризующихся дегенеративным искажением заднего конца платформы. Поскольку в нашей коллекции патологией охарактеризованы конодонты различных видов рода *Palmatolepis*, а форма ее проявления является более общей, чем форма проявления патологии *Mutilatio*, следует считать предлагаемое название валидным.

Патология Transpositio. Данная патология выделяется впервые. *Derivatio nominis:* от позднелатинского *transpositio* – перестановка. Диагноз: под этим названием выделяется патологическая форма, представленная единственным уникальным экземпляром *Ancyrodella sp.*, который характеризуется отломанным практически от основания свободным листом с нечеткими признаками регенерации на месте отлома, утолщенной платформой с мощным, несколько удлиненным задним концом, на котором резко выделяются высокие уплощенные зубцы, по высоте и морфологии сходные с очер-



Фиг.1 – 4 Патология Abrasio. Фиг.1 – 4 - увеличение 40, фиг. 4а – увеличение 120.

Фиг.5 Патология Transpositio. Фиг.5 - увеличение 50, фиг.5а – увеличение около 55.

Фиг.6 Патология Decompositio. Увеличение 100.

Фиг.7 – 9 Патология Duplicatio. Фиг.7 – увеличение 60, фиг.8 – увеличение 30, фиг.8 – увеличение 80.

Фиг.10 Патология Diminutio. Фиг.10 - увеличение 60, фиг.10а – увеличение 100.

Фиг.11 Патология Teratio. Увеличение 100.

Фиг.12 Патология Perforatio. Увеличение 40.

Фиг.13 – 15, 3 Патология Deformatio. Фиг.13 – увеличение 60, фиг.14, 15, 3 – увеличение 40.

таниями свободного листа (табл., фиг. 5). Эта особенность строения, отсутствующая у нормальных экземпляров анцироделл, позволяет сделать предположение, что после потери свободного листа его функции были переадресованы вновь сформированным зубцам на противоположном конце платформы. Данный образец происходит из отложений основания зоны *transitans* разреза "Кривой рог".

Патология Perforatio. Данная патология выделяется впервые. *Derivatio nominis:* от латинского *perforare* – пробуравливать. Диагноз: под этим названием выделяется патологическая форма, представленная единственным уникальным экземпляром *Palmatolepis triangularis* – *Palmatolepis perlata* (переходный морфотип), который характеризуется наличием на верхней половине внутренней стороны платформы остаточного после залечивания щелеобразного отверстия размером 0,2 x 0,03 мм, примыкающего к каринальному гребню под углом 45 градусов и оконтуренного слабобугорчатым парапетом шириной 0,1-0,15 мм (табл., фиг. 12). Данный образец происходит из нижнефаменских отложений зоны средняя *triangularis* разреза "Баронская".

Патология Teratio. Данная патология выделяется впервые. *Derivatio nominis:* от греческого *teras* – урод, чудовище. Диагноз: под этим названием выделяется патологическая форма, представленная единственным уникальным ювенильным экземпляром, представляющим конодонтовую тератоморфу, образованную срастанием по типу сиамских близнецов двух полигнатусовых платформ, обладающих общим свободным листом, раздвоенным в передней части (табл., фиг. 11). Данный образец происходит из нижнефаменских отложений подзоны нижняя *triangularis* разреза "Баронская".

Таким образом, анализ изложенного ма-

териала показывает, что изучение патологий конодонтов заостряет внимание кондонтологов на целом ряде специфических проблем экологического, функционального, морфоструктурного, систематического, биофацального и стратиграфического направлений: образ жизни и питания – наличие однотипных по своему характеру патологий у различных родов конодонтов свидетельствует об общности условий и характера их питания, в то же время модели биофацальных зональностей предполагают подразделение образа жизни и, соответственно, питания для различных родов. Характер питания и органы питания – наличие патологии Abrasio и патологий травматического характера свидетельствует об открытости твердых элементов органа питания по отношению к пище и внешней среде, тогда как микроретикуляционные структуры на поверхности конодонтовых элементов говорят о противоположном – о их покрытии мягкими тканями секрецирующего эпителия; характер микроскульптуры и систематика – использование микроскульптуры в качестве видообразующего признака приводит иногда к выделению новых видов с большим стратиграфическим весом, в то время как патологические формы свидетельствуют в пользу зависимости микроскульптуры от внешних условий. Это далеко не полный перечень специфических "конодонтовых" проблем. Но, учитывая "стратиграфическую" специфику конодонтов, встает другая проблема, решение которой может способствовать целям и задачам стратиграфической и геологической корреляции, а именно – существуют ли уровни с высокой "патологичностью" конодонтов? Представленные здесь предварительные результаты предполагают скорее положительный, чем отрицательный ответ на этот вопрос.

Список литературы

Журавлев А. В. Гистология и микроскульптура позднепалеозойских конодонтовых элементов // С.-Пб.: НПФ «Геосервис Плюс», 2002. 83 с.

Hass, W.H. Morphology of conodonts // Journal of Paleontology, Tulsa /Okla, 1941. V.15 (1). P. 71-81.

Lindström, M. Conodonts // Amsterdam, London, New York (Elsevier), 1964. 196 pp.

Möller, K. J. & Nogami, Y. Über den Feinbau der Conodonten // Mem. Fac. Sci., Kyoto Univ. Ser. Geol. Miner. Kyoto, 1971. V. 38. P. 1-87.

Weddige, K. Pathological Conodonts // Courier Forshungsinstitut Senckenberg. Frankfurt a.M., 1990. № 118. P. 563-589.

Ziegler, W. & Lindström, M. Fortschrittsbericht Conodonten // Paldont. Z. Stuttgart, 1975. № 49. P. 565-598.

Ziegler, W. & Sandberg, C A. The Late devonian Standart Conodont Zonation // Courier Forshungsinstitut Senckenberg. Frankfurt a. M., 1990. № 121. 115 p.